

İÇ ANADOLU GRANİTOYİD KUŞAĞINDAKİ ÇELEBİ SOKULUMUNUN JEOKİMYASI ve KÖKENSEL YORUMU

Geochemistry and Genetic Interpretation of the Çelebi Intrusion in the Inner Anatolian Granitoid Belt

HASAN BAYHAN, H.Ü. Mühendislik Fakültesi, Jeoloji Mühendisliği Bölümü, Ankara

ÖZ: İç Anadolu granitoyid kuşağı, Kırşehir Masifi'nin batı kenarında yer almaktadır. Kuşaktaki sokulumlardan birini oluşturan Çelebi granitoyidine ait 40 örneğin ana ve iz element kimyasal analizleri yapılarak jeokimyasal özellikleri ve kökeni belirlenmeye çalışılmıştır.

Granit, granodiorit, kuvars monzonit, kuvars monzodiorit bileşiminde ve kalkalkali karakterindeki inceleme alanı granitoyidlerin önemli koyu renkli minerallerini hornblend + biyotit ± klinopyroksen ve titanit oluşturmaktadır. Benzer mineralojik bileşime sahip, bolca artık mafik kayaç kapanımları içerirler ve I-tipi granitoyid özelliğindedirler. K, Rb, Sr, Ba, Zr, Nb, Th, U, Rb/Sr, La, Ce konsantrasyonları yüksek, K/Rb ve Sr/Ba konsantrasyonları ise düşüktür.

Bazı iz element içerikleri açısından volkanik yay çarpışma sonrası granitoyidlere benzerlik gösteren Çelebi Granitoyidinin, mineralojik-petrografik ve jeokimyasal özelliklerine göre, kitasal kabuk ± manto malzemesinin bölümsel ergimesiyle oluşturduğu ileri sürülebilir.

ABSTRACT: The Inner Anatolian granitoid belt is situated at the western proximity of the Kırşehir Massif. Forty samples of Çelebi granitoid, which constitutes one of the intrusions in the belt, were analysed for major and trace elements. The geochemical properties and the origin of the intrusion are discussed.

Principal dark colored minerals of the granitoids in the area studied, which have granitic, granodioritic, quartzmonzonitic, quartz-monzodioritic composition and calc-alkaline character, consist of hornblend + biotite ± clinopyroxene and titanite.

These intrusions contain abundant residual rock inclusions of similar mineralogic composition, and are of I-type granitoid character. They have a high concentration of K, Rb, Sr, Ba, Zr, Nb, Th, U, Rb/Sr, and a low concentration of K/Rb and Sr/Ba.

It can be claimed that the Çelebi granitoid, which shows similarities to volcanic arc and post-collision granitoids in terms of the content of certain trace elements, is formed through partial melting of the continental crust ± mantel material, basing on its mineralogical-petrographical and geochemical properties.

GİRİŞ

Orta Anadolu Masifi olarak bilinen İç Anadolu'da bir kuşak şeklinde uzanan birçok granitoyid sokulumlari vardır. Bu kuşak içinde bulunan sözkonusu sokulumlardan biri de, Çelebi granitoyididir. Çalışmanın konusunu oluşturan Çelebi granitoyidi, Ankara'nın yaklaşık 100-130 km. güneydoğusunda ve Çelebi-Hirfanlar-Kesikköprü yöresinde yer almaktadır (Şekil 1).

İnceleme alanında ilk çalışmalar, granitoyid-mermer dokanağında gelişen ekonomik demir cevherleşmeleri ile ilgili olup, MTA Enstitüsü tarafından gerçekleştirilmiştir. Yörenin, Kırşehir Masifi'nin batısında bulunması, masifi konu alan bazı çalışmaların kapsamı içine girmesine neden olmuştur. Bu çalışmalar, inceleme alanını metamorfizma ve stratigrafi açısından irdelemektedirler (Seymen, 1981 ve 1984). Bayhan (1984)

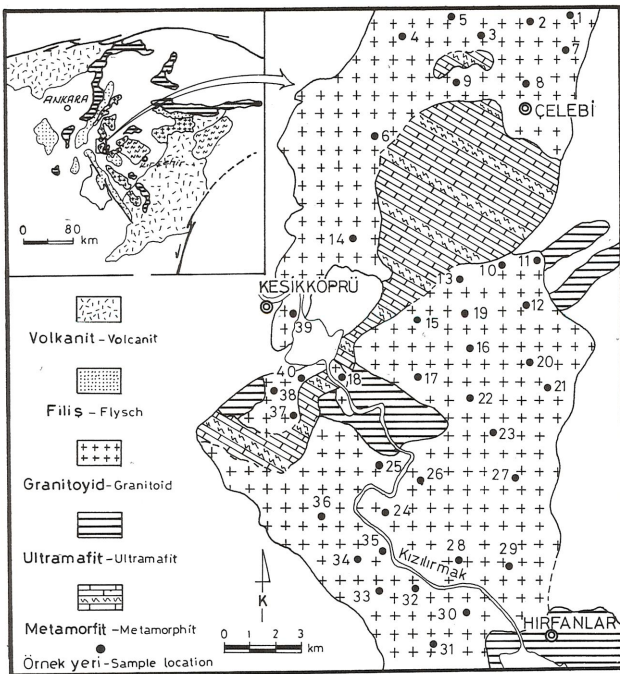
ise, granitoyidler ile mermerlerin dokanağında gelişen skarn kuşağıını ayrıntılı olarak incelemiştir.

Önceki çalışmalarдан da görüleceği gibi, İç Anadolu'daki granitoyid kuşağında yer alan sokulumlarda ilgili ayrıntılı çalışmalar bugüne dek yapılmamıştır. Bu nedenle, granitoyid kuşağında yer alan sokulumlardan birisi olan Çelebi granitoyidinin jeokimyasal ve petrojenetik incelenmesi, bu çalışmada amaç olarak seçilmiştir.

Granitoyid örneklerinin kimyasal analizleri, Freiburg Üniversitesi'nde (Freiburg-F.Almanya) XRF yöntemi ile yapılmış ve parametreler de aynı üniversitenin bilgi işlem merkezinde hesaplanmıştır.

GENEL JEOLOJİ

İnceleme alanında yer alan en eski litolojik birim,



Şekil 1. İnceleme alanının jeoloji haritası

Figure 1. Geological map of the investigated area

metamorfitlerdir (Şekil 1). Metamorfitlerin de ana birimi, üst seviyelerde saf ve temiz, alt seviyelere doğru ise gnays ve sıstlerle ardalanmalar gösteren, mermerlerdir. Mermerler ince taneli ve granoblastik dokudadır. Granitoyid sokulumun neden olduğu rekristalizasyon sonucu, mermerlerin tane boyunda büyümeler (mm-cm mertebede) gelişmiştir. Sist dokusu gösteren kayaçlar, kalksilikatiksist ve kalksist özelliğindedir. Gnaysik dokulu kayaçlarda, kordiyerit + sillimanit + biyotit (+K. feldispat+kuvars±plajiyoklas) mineral topluluğunun varlığını ifade eden Bayhan (1984), bölgenin orta ve yüksek sıcaklık koşullarında metamorfizma geçirdiğini belirtmektedir.

Ultramafik kayaçlar, piroksenit, hornblendit ve gabrolardan oluşmaktadır. Piroksenit ve gabrolarda yaygın uralitleşmeler gözlenmiştir. Gabrolarda yer yer belirgin kümülat yapısı gelişmiştir. Metamorfitler üzerinde tektonik dokanakla bulunan ve Seymen (1984) tarafından Karakaya Ultramafiti olarak tanımlanan birimin eşdeğeriidir.

Eski birimleri sıcak dokanakla kesen Çelebi granitoyidi, inceleme alanında geniş bir alanı kaplamaktadır (Şekil 1). Seymen (1981) granitoyidlerin yaşının, stratigrafik bulgulara göre, Paleosen olması gerektiğini vurgularken, inceleme alanının yakın civarında stratigrafik ve sedimentolojik çalışmalar yapan Görür (1981), Üst Maestriyen yaşlı Kartal ve Asmabogazı Formasyonlarının granitoyidlerden malzeme almadığını belirtmiştir. Okay (1981) ise, Tersiyer ve Neojen tortul serilerinin granitoyidlerden malzeme aldığıni ifade etmiştir.

Granitoyid kütlesinden kaynaklanan akışkanlarla

mermerler arasındaki tepkimeler sonucu dokanakta skarn zonu oluşmuştur. Skarn oluşumunda diffüzyon ve infiltrasyon süreçlerinin etkin rol oynadığı, skarnlaşmanın yaklaşık 1.5 - 2 kb basınç altında 675°C'den daha düşük sıcaklıklarda ve yüksek CO₂ konsantrasyonu (X_{CO_2}) (≥ 0.35) koşullarında başladığı ve azalan X_{CO_2} ile beraber 450°C'nin altına kadar devam ettiği Bayhan (1984) tarafından belirlenmiştir.

PETROGRAFİ

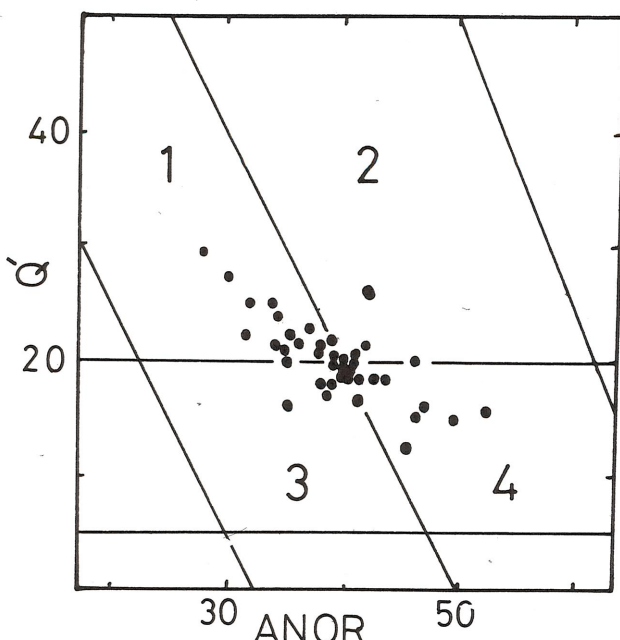
Granitoyidler, koyu renkli mineral içeriklerine göre genellikle lökocratik ve mesokratik karakterlerde olup, orta ve ıri tanelidirler. İri taneli olanlarında feldispat kristallerinin büyüklüğü yer yer 3 cm'e kadar çıkmaktadır. Holokristalin taneselden holokristalin porfiriye kadar devamlı bir geçiş gösteren yapıya sahiptirler. Ana bileşen olarak plajiyoklas, ortoklas, kuvars, hornblend, biyotit ve klinopiroksen içeren granitoyidlerde tali bileşen olarak titanit, zirkon, apatit ve az miktarda allanit izlenmiştir.

Değişik tane iriliğindeki plajiyoklaslar, bütün örneklerde polisentetik ikizlenme ile birlikte az veya çok zonlu yapı gösterirler. Genellikle kristal kenarlarında, bazen de ortoklas kristallerinin içine doğru bir körfez şeklinde gelişen mirmekit yapıya az da olsa rastlanmaktadır. Ayrıca, plajiyoklaslarda serisitleşme ve epidotlaşma da belirlenmiştir. Ortoklaslar, daha çok karlsbad yasasına göre ikizlenmiş olup, filmpertit veya iplikpertit ütüründe pertitik dokunun yanı sıra yazigranitik doku da gösterirler. Az miktarda killeşmişlerdir. Özükilsiz kuvars kristalleri ise, çoğunlukla ara boşluklarda (hamurda) yer almaktadır.

Diopsitik-ojit karakterindeki klinopiroksenler, özellikle kristal kenarlarından, bazen de dilinim izlerinden itibaren kısmen veya tamamen hornblende dönüşmüştür. Bu nedenle, honblendler içinde artıklar halinde gözlenirler. Hornblendlerin yanı sıra biyotitin de gözlenmesi, bozunmanın ilerlemesiyle biyotit oluşumunun gerçekleştiğine işaret etmektedir. Koyu renkli mineraller içinde en bol bulunanı, hornblendlerdir. Açık sarımsı yeşil, yeşil ve kahverengi yeşil renklerdeki bu mineraller, hastingsit karakterindedir. Piroksenlerden türemeleri nedeniyle de, çoğunlukla piroksenleri mantolamış olarak gözlenirler. Açık sarımsı kahverengiden kırmızımsı kahverengiye kadar değişen renklerdeki biyotitler az kloritleşmişlerdir.

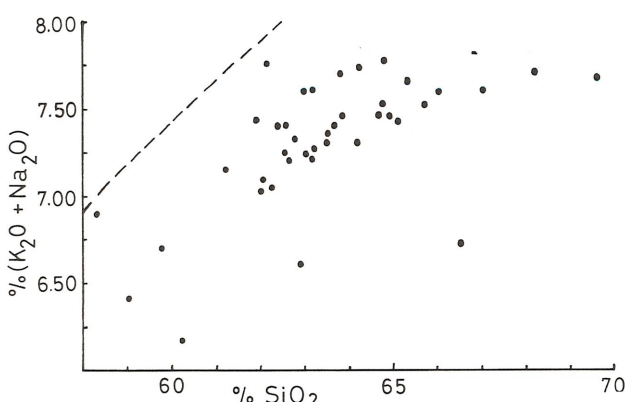
Tali bileşenler (titant, zirkon, apatit ve allanit), özükilli veya yarı özükilli kristaller halinde olup, genellikle diğer bileşenler içinde kapanımlar halinde bulunurlar.

Granitoyidler içinde, magmatik dokulu ve çapları 1-5 cm. bazen 10 cm.'ye erişen kayaç kapanımları gözlenmiştir. Oldukça yuvarlaklaşmış ve granitoyidlerle kesin dokanak gösteren bu kayaç kapanımları, holokristalin porfirk dokudadır. Genellikle monzonit ve monzonit diorit, bazen de diorit ve kuvars diorit karakterinde



Şekil 2. Q-ANOR diyagramında (Streckeisen ve Le Maitre, 1979) örneklerin dağılımları. 1: granit, 2: granodiorit, 3: kuvars monzonit, 4: kuvars monzodiyorit

Figure 2. Distributions of samples in Q-ANOR diagram (Streckeisen and Le Maitre, 1979). 1: granite, 2: granodiorite, 3: quartz monzonite, 4: quarta monzodiorite



Şekil 3. Alkali - SiO₂ diyagramında (Irvine ve Baragar, 1971) örneklerin dağılımları. Kesikli çizgi alkali (üst) ve subalkalı (alt) bölgeleri ayırmaktadır.

Figure 3. Distributions of samples in alkali - SiO₂ diagram (Irvine and Baragar, 1971). The dashed line classifies alkaline (upper) and subalkaline (lower) fields.

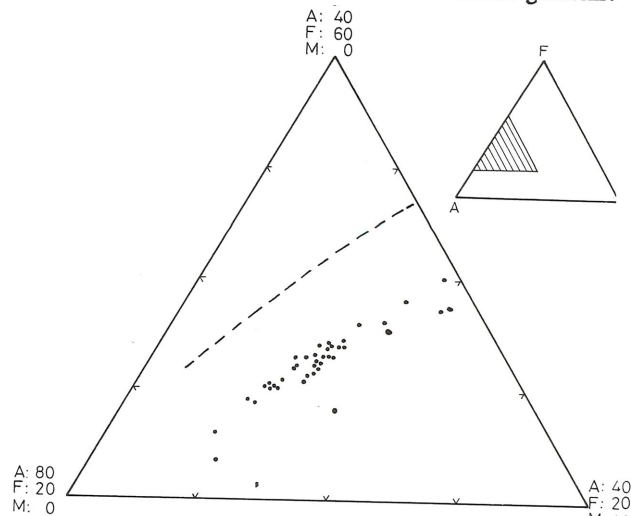
dirler. Esas bileşenlerini plajiyoklas, ortoklas, horblend, klinopiroksen, biyotit ve çok az miktardaki kuvars oluşturur. Titanit, zirkon ve apatit tali bileşenlerdir. Porfirik dokunun fenokristallerini çoğulukla plajiyoklas, bazen de hornblend ve klinopiroksen oluşturur. Klinopiroksenler, az veya çok hornblendlere dönüştürülmüşdür. Granitoyidlere olduğu gibi, horblend yine en yaygın gözlenen mafik bileşendir. Granitoyidlere kayaç kapanımları mineralojik bileşimleri açısından karşılaştırıldığında, belirgin bir çıkışmanın varlığı göze çarpar. Ancak kayaç kapanımları, mafik bileşen ve palajiyoklas açısından daha zengindir.

JEOKİMYA

Granitoyidlere ait 40 örneğin ana ve iz element analizleri yapılarak elde edilen değerler ile bu değerlerden hesaplanan CIPW-Normları Çizelge 1 de verilmiştir. Analizi yapılan örneklerin arazideki dağılımı da Şekil 1 de gösterilmiştir.

Granitoyidlere orta ve iri taneli olması, mikroskop altında modal mineralojik bileşimlerinin sağlıklı şekilde belirlenmesine olanak vermemiştir. Bu nedenle adlandırılmaları, kimyasal analiz sonuçlarından hesaplanan CIPW - Normları kullanılarak Streckeisen ve Le Maitre'ye (1979) göre yapılmıştır. Şekil 2 de görüleceği gibi granitoyidlere, granit, granodiorit, kuvars monzonit ve kuvars manzodiyorit özellikleri dinedirler.

Örneklerin SiO₂ içerikleri % 58.32 - % 69.66 arasında değişmekte olup, asidik ve ortaç karakterdedirler. Nisbeten yüksek toplam alkali içeriklerine (ortalama % 7.30) rağmen alkali - SiO₂ diyagramında (Şekil 3) subalkalı alanda yer alırlar. Örnekler AFM diyagramına (Şekil 4) taşındıklarında, kalkalkalı nitelikte oldukları gözlenir.



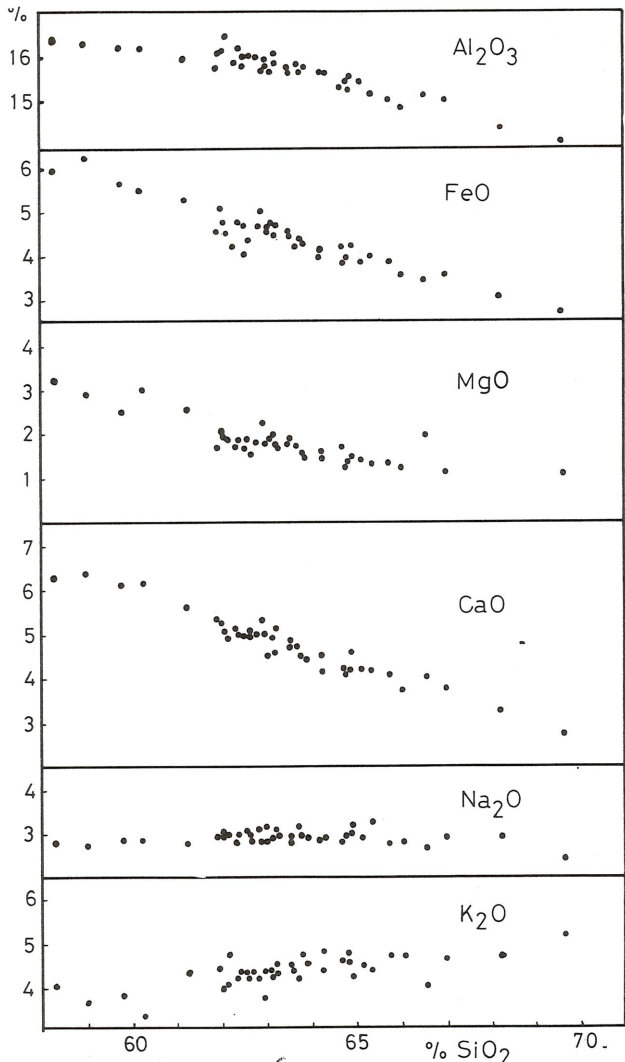
Şekil 4. AFM diyagramında (Irvine and Baragar, 1971) örneklerin dağılımları. Kesikli çizgi alkali (üst) ve subalkalı (alt) bölgeleri ayırmaktadır.

Figure 4. Distributions of samples in AFM diagram (Irvine and Baragar, 1971). The dashed line classifies tholeiitic (upper) and calc-alkaline (lower).

Oksitlerin değişimini belirlemek için ana element analiz sonuçları diğer oksitler - SiO₂ diyagramına (Şekil 5) taşınmışlardır. SiO₂ artışına bağlı olarak, Al₂O₃, toplam FeO, MgO, CaO de düzenli azalma, K₂O de ise artış gözlenmektedir. Oksitlerin düzenli değişimi, fraksiyonel kristalleşmeyi yansıtmaktadır. Al₂O₃ / (CaO+Na₂+K₂O) moleküler oranlarının 1.1'den küçük olması, granitoyidlere metalümino karakterinde (Shand, 1950) olduklarını göstermektedir.

İri katyonlar olarak bilinen Ba, Rb ve Sr'un konstantrasyonları, yüksek CaO ve K₂O değerlerine uygun olarak yüksektir (Çizelge 1). Bilindiği gibi, Ba ve Rb, K'lu mineraller; Sr ise Ca'lu mineraller (özellikle Plaji-

yoklas) tarafından tutulur. Rb, hem Sr hem de Ba ile genel olarak negatif bir ilişki içindedir (Şekil 6b, c). Bu durum, ayırmılışma yönünde artış gösteren Rb'un daha çok K-feldispatlar (ortoklas) tarafından tutulduğunu göstermektedir. Ayırmılışmanın belirteci olarak da bilinen K/Rb oranı, Rb ile negatif ilişkilidir (Şekil 6a).



Şekil 5. SiO_2 'e karşı diğer oksitlerin değişim diyagramı

Figure 5. Variation diagram of the other oxydes versus SiO_2

Yüksek değerli katyonlardan Zr, 136 ppm ile 179 ppm arasında değişim gösterir. Hf 4-6 ppm, Th 15-42 ppm-U 5-8 ppm, Nb 10-19 ppm arasında değerlere sahiptir. Zr tipi olarak bilinen bu katyonlardan Zr, Rb ile negatif ilişkilidir (Şekil 6e). Dolayısıyla magmatik farklılaşmanın ilk evrelerinde mineralerin yapısına girmiştir (özellikle zirkonun). Bu durum, mikroskop altında özçekilli zirkon kristallerinin gözlenmesi ile de uyumludur.

Magmatik farklılaşmanın ilk evrelerinde eriyikten ayrılma eğilimi gösteren ferromagnezyen elementlerinden

Ni, Cu ve Pb değerleri düşükken, Cr (119-222 ppm), V (51-131 ppm) ile Zn (30-88 ppm) değerleri değişken ve yüksektir (Çizelge 1). V'un Rb ile negatif ilişki göstermesi (Şekil 6d) magmatik farklılaşmanın ilk evrelerinde ferromagnezyen mineraller tarafından tutulduğuna işaret eder.

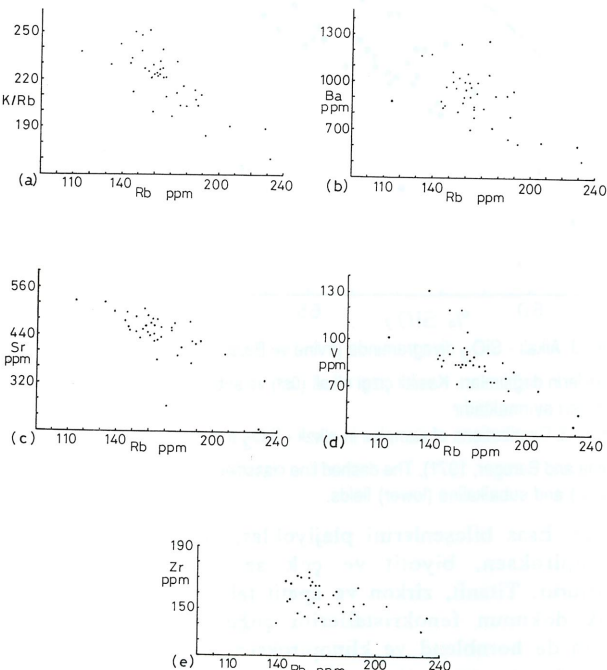
Y değeri 17-30 ppm arasında değişmekte olup 26 ppm'lik ortalaması, ortalama 30 ppm Y içeren kabuksal malzemeye benzerlik gösterir. Hafif nadir toprak elementlerinin değerleri, La 43-72 ppm, Ce 42-105 ppm (oldukça değişken) ve Nd için 6-29 ppm'dir. Ortalama La (55 ppm) ve Ce (81 ppm) değerleri, ortalama 30 ppm La ve 60 ppm Ce içeren kabuksal malzemeye (Taylor, 1967) göre yüksektir.

TEKTONİK KONUM

Pearce ve diğerleri (1984), çeşitli tektonik ortamlarda yerleşmiş granitoidlerin iz element jeokimyalarını inceleyerek bir sınıflama modeli önermişlerdir. Önerilen modele göre granitoidler:

- Okyanus sırtı granitoidleri (ORG)
- Volkanik yay granitoidleri (VAG)
- Levha içi granitoidleri (WPG)
- Çarpışma granitoidleri (COLG)

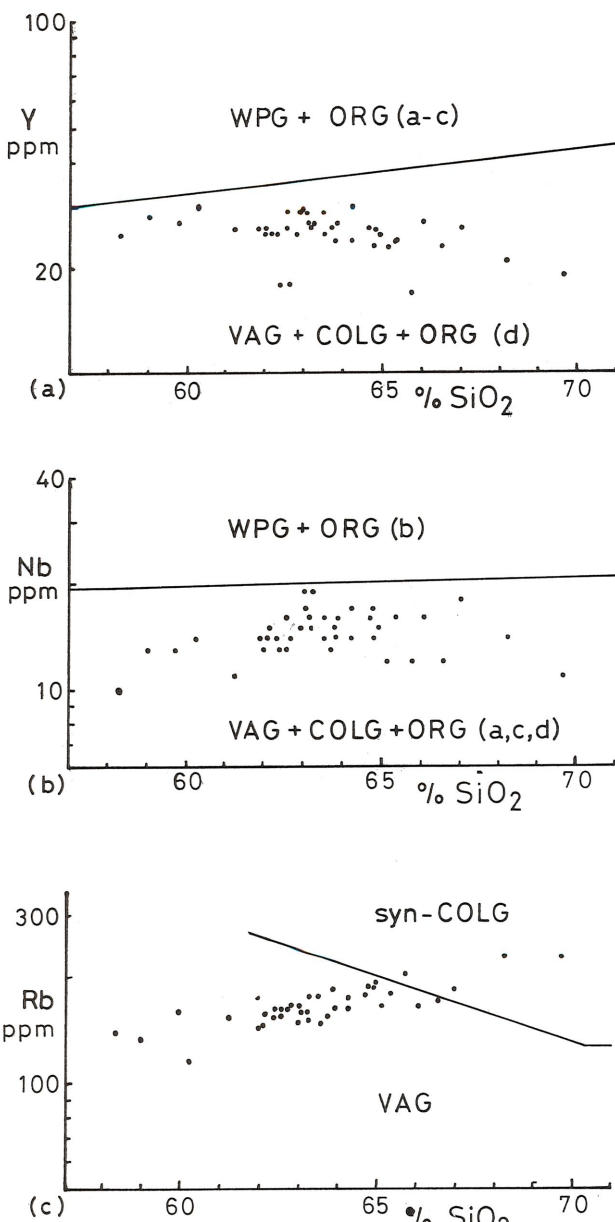
şeklinde dört ana gruba, her ana grup da kendi içinde alt bölgelere ayrılmaktadır.



Şekil 6. Bazı iz elementlerin değişim diyagamları

Figure 6. Variation diagrams of the some trace elements

Bazı iz elementlerin SiO_2 ile olan değişimleri, granitoidlerin yukarıda belirtilen tektonik konumlarının belirlenmesinde önemli bir yer tutar. İnceleme alanı grani-



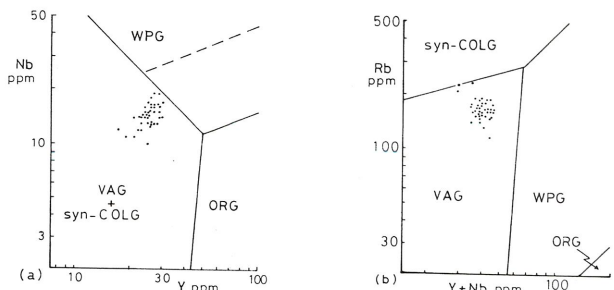
Şekil 7. SiO_2 - Y (a), SiO_2 - Nb (b), ve SiO_2 - Rb (c) ayırtman diyagramlarında (Pearce ve diğerleri, 1984) örneklerin dağılımları
WPG: levha içi granitoyidleri, ORG: okyanus sırtı granitoyidleri,
VAG: volkanik yay granitoyidleri, COLG: çarpışma sonrası granitoyidleri,
Syn-COLG: çarpışma sonrası granitoyidleri.

Figure 7. Distributions of samples in SiO_2 - Y (a), SiO_2 - Nb (b) and SiO_2 - Rb (c) discriminant diagrams (Pearce and et al., 1984).

WPG: Within plate granitoids, ORG: ocean ridge granitoids,
VAG: volcanic arc granitoids, COLG: collision granitoids,
syn-COLG: syn-collision granitoids.

toyidleri Y ve Nb değerleri açısından VAG COLG ORG alanında yer alırlar. Başka bir ifade ile Y açısından WPG ve ORG (a-c)'den, Nb açısından da yine WPG ve ORG (b)'den daha düşük değerlere sahiptirler (Şekil 7a, b).

Rb'un SiO_2 ile olan değişimini, çarpışma sonrası granitoyidleri (syn-COLG) ile ada yayı granitoyidleri (VAG) arasında iyi bir ayırtman özelliğine sahiptir (Pearce ve diğerleri, 1984). Bu açıdan, Çelebi granitoyid-



Şekil 8. Nb-Y (a) ve Rb-(Y+Nb) (b) ayırtman diyagramlarında (Pearce ve diğerleri, 1984) örneklerin dağılımları. WPG: levha içi granitoyidleri, ORG: okyanus sırtı granitoyidleri, syn-COLG: çarpışma sonrası granitoyidleri, VAG: volkanik yay granitoyidleri
Figure 8. Distributions of samples in Nb-Y (a) and Rb-(Y+Nb) (b) discriminant diagrams (Pearce and et al., 1984). WPG: within plate granitoids, OGR: ocean ridge granitoids, syn-COLG: syn-collision granitoids, VAG: volcanic arc granitoids.

leri değerlendirildiğinde, çarpışma sonrası granitoyidle-rinde (post-COLG) olduğu gibi, genellikle VAG, kısmen de (dört örnek) syn-COLG alanında yer aldığı gözlenir (Şekil 7c).

Yukarıda belirtildiği gibi Nb, Y ve Rb değerleri tektonik ortamın belirlenmesinde önemlidir. Ancak SiO_2 'le olan değişimleri, okyanus sırtı granitoyidleri (dalma zonu yönünde) ile çarpışma sonrası granitoyidlerin (post-COLG) volkanik yay granitoyidlerinden ayrılmamasına olanak vermemektedir. Bozunmaya karşı kararlı olan Nb ve Y elementlerinin kendi aralarındaki değişimleriyle, ORG granitoyidlerinin diğerlerinden (özellikle VG) ayırt edilmeleri mümkün olmaktadır. İncelenen örneklerin Nb-Y diyagramında VAG ve syn-COLG alanında yer aldığı Şekil 8'a'da gözlenmektedir. Örnekler, Rb-(Y+Nb) diyagramına taşındıklarında ise volkanik yay granitoyidleri (VAG) alanının üst kesimlerinde toplanırlar (Şekil 8b).

PETROJENEZ

Daha önceki bölümlerde de belirtildiği gibi, granitoyidler mineralojik olarak koyu renkli minerallerden hornblend + biyotit \pm piroksen ve tali minerallerden titanit içermektedir. Ayrıca magmatik dokulu ve belirgin dokanaklı, genellikle yuvarlaklaşmış, granitoyidlere göre daha ince taneli ve mafik mineralce zengin kayaç kapanımları mevcuttur. Kimyasal olarak % 2.46 - 3.26 arasında değişen Na_2O , geniş dağılım gösteren SiO_2 , normatif di ve 1.1.'den küçük moleküler $\text{Al}_2\text{O}_3 / (\text{Na}_2\text{O} + \text{K}_2\text{O} + \text{CaO})$ oranına sahiptir. SiO_2 'e karşı diğer oksitlerin değişimi de düzenlidir. Belirtilen bu verilere göre, incelenen granitoyidlerin; Chappel ve White (1974) ile White ve Chappel (1977) tarafından tanımlanan I-tipi granitoyidlere olduğu, başka bir deyişle magmatik kayaçların bölgiesel ergimesiyle oluşan magmadan itibaren kristalleştikleri ileri sürülebilir.

Günümüzde granitik kayaçların kökeni üzerindeki tartışmalar, genel olarak üç grupta toplanmaktadır (Wyllie, 1981):

- Sulu çözeltiler, veya katı haldeki difüzyon sonu

	1	2	3	4	5	6	7	8	9	10	11	12	13	14	15	16	17	18	19	20
SiO ₂	60.25	62.93	63.54	59.04	59.79	61.26	62.17	63.09	69.66	63.18	64.25	64.70	62.82	66.54	63.53	67.03	65.75	62.32	66.05	68.21
TiO ₂	.60	.54	.44	.64	.56	.50	.47	.52	.30	.50	.40	.43	.45	.46	.46	.35	.37	.49	.35	.30
Al ₂ O ₃	16.19	15.70	15.67	16.28	16.22	15.91	16.47	15.75	14.09	15.64	15.63	15.31	15.98	15.12	15.75	15.02	15.04	15.84	14.84	14.39
Fe ₂ O ₃	.56	.95	1.80	2.53	2.39	2.14	1.55	1.50	.04	1.28	1.79	1.12	1.97	.26	1.55	1.24	1.40	2.18	1.47	1.18
FeO	4.97	4.13	2.89	3.97	3.49	3.34	3.09	3.29	2.67	3.55	2.49	3.18	2.87	3.19	3.09	2.47	2.59	2.23	2.23	2.00
MnO	.11	.11	.10	.15	.12	.12	.10	.10	.05	.10	.09	.09	.09	.05	.10	.08	.09	.09	.09	.07
MgO	3.00	2.24	1.85	2.91	2.50	2.55	1.87	1.89	1.13	2.00	1.47	1.71	1.82	2.00	1.16	1.37	1.72	1.26	1.00	
CaO	6.14	5.35	4.88	6.39	6.14	5.61	4.91	4.53	2.74	4.96	4.16	4.24	5.02	4.06	4.65	3.77	4.09	5.16	3.71	3.29
Na ₂ O	2.88	2.83	2.85	2.76	2.87	2.79	2.98	2.84	2.46	2.92	2.88	2.86	3.11	2.68	2.90	2.96	2.77	2.82	2.83	2.96
K ₂ O	3.28	3.76	4.45	3.67	3.82	4.36	4.75	4.38	5.21	4.29	4.85	4.60	4.21	4.04	4.46	4.64	4.75	4.22	4.75	4.74
P ₂ O ₅	.17	.16	.14	.23	.19	.18	.15	.16	.09	.15	.13	.14	.15	.12	.15	.11	.13	.15	.13	.10
H ₂ O	1.45	.94	.99	1.20	1.15	.92	1.15	1.02	.93	.80	1.05	1.15	1.02	1.21	1.09	.96	.73	1.46	1.51	.85
CO ₂	.20	.09	.07	.11	.22	.21	.14	.12	.11	.23	.12	.09	.06	.13	.09	.06	.12	.82	.07	.08
plam-total	99.80	99.73	99.67	99.88	99.46	99.89	99.80	99.12	99.48	99.61	99.31	99.63	99.57	99.86	99.64	99.85	99.20	99.50	99.29	99.17
Iz Elementler (ppm)-Trace elements (ppm)																				
Ba	847	845	992	1164	997	1061	1241	900	600	947	1257	904	934	830	966	637	620	960	824	508
Rb	115	147	167	133	159	152	157	159	229	160	174	178	167	171	148	186	207	154	165	232
Sr	526	462	436	523	491	450	508	447	208	441	454	590	460	263	453	369	394	434	379	327
Zr	145	156	159	179	170	171	158	173	136	165	142	154	142	153	167	152	170	151	145	
Th	20	25	24	16	18	16	24	25	30	29	25	25	25	19	26	39	38	29	37	42
U	7	6	6	5	7	7	5	8	8	6	6	5	7	4	5	5	5	8	7	7
Hf	5	6	5	6	6	5	5	4	5	5	5	5	5	5	5	5	5	5	5	4
Nb	14	15	14	13	13	11	15	17	11	16	14	16	13	12	16	18	12	14	16	14
Ni	12	15	14	23	21	26	12	14	16	12	13	9	19	27	12	14	11	18	5	13
Cr	189	181	165	142	171	180	156	146	196	146	185	171	131	222	173	164	142	141	136	192
V	101	83	84	111	119	119	72	83	51	84	81	74	89	83	87	62	68	95	61	53
Cu	8	15	12	14	10	21	7	8	6	5	5	6	3	2	2	2	5	11	2	-
Pb	40	46	44	26	32	42	43	43	37	54	41	25	16	36	45	46	52	45	45	
Zn	80	76	66	86	67	70	59	63	43	56	53	52	51	30	50	53	55	66	56	42
Ga	17	15	13	16	15	14	15	16	12	15	14	14	14	15	14	14	15	14	14	
Y	30	29	25	28	27	26	25	29	19	27	24	26	25	23	29	26	17	25	27	21
La	55	59	49	53	56	45	49	56	55	52	56	56	72	49	60	63	59	43	55	44
Ce	84	91	84	73	55	73	72	99	65	105	79	78	96	73	96	74	79	91	81	75
Nd	24	21	23	16	12	21	15	29	6	26	11	24	20	16	23	19	17	28	20	14
K/Rb	237	212	221	229	199	238	251	229	189	223	231	215	209	196	250	207	190	227	239	170
Rb/Sr	.219	.318	.383	.254	.324	.338	.309	.356	1.101	.363	.383	.456	.368	.650	.327	.504	.525	.355	.435	.709
Sr/Ba	.621	.547	.440	.449	.492	.424	.409	.497	.347	.466	.361	.431	.493	.317	.469	.579	.635	.452	.460	.644
Ce _{H₂O} /Y _{H₂O}	5.9	6.5	6.8	5.6	4.2	6.8	5.9	7.0	6.9	8.0	7.0	6.4	7.8	6.5	6.8	6.1	9.3	7.5	6.1	7.3
A/CNK ^a	.83	.85	.85	.81	.81	.87	.90	.97	.84	.88	.87	.85	.93	.87	.89	.87	.85	.90	.90	

JIPW Normları - JIPW Norms

q	12.26	16.56	17.26	11.71	12.82	13.53	13.60	17.11	26.64	16.29	18.28	18.50	15.84	22.59	16.97	22.19	21.01	18.49	21.94	24.73
Dr	19.39	22.29	26.37	21.70	22.70	25.78	28.08	26.08	30.92	25.42	28.85	27.26	24.95	23.88	26.43	27.43	28.26	25.07	28.26	28.20
ab	24.38	23.95	24.13	23.36	24.38	23.62	25.23	24.22	20.91	24.81	24.55	24.30	26.41	22.68	24.64	25.05	23.62	23.96	24.13	25.23
an	21.65	19.12	16.94	21.23	20.22	18.05	17.63	17.45	12.11	17.00	15.50	15.42	17.31	17.36	16.86	14.05	14.73	18.19	13.86	12.14
di	5.38	4.87	4.89	6.75	6.33	5.93	4.01	2.78	0.22	4.33	2.98	3.47	5.19	0.98	3.89	2.95	3.90	1.08	2.76	2.59
hy	12.68	9.29	5.50	8.39	6.92	7.23	6.49	7.52	7.20	7.68	4.84	6.93	5.09	9.47	6.46	4.51	4.95	5.43	4.27	3.57
mt	0.81	1.38	2.61	3.67	3.48	3.10	2.25	2.19	.06	1.86	2.61	1.63	2.86	.38	2.25	1.80	2.05	3.18	2.15	
il	1.14	1.03	.84	1.22	1.06	.95	.89	.99	.57	.95	.76	.82	.86	.87	.67	.70	.93	.67	.57	
ap	.40	.38	.33	.55	.45	.43	.36	.38	.21	.36	.31	.33	.36	.28	.36	.26	.31	.36	.31	.24
cc	.46	.21	.16	.25	.50	.48	.32	.27	.25	.52	.27	.21	.14	.30	.21	.14	.27	.187	.16	

a) A/CNK:moleküller oran Al₂O₃/(CaO+MgO+K₂O)

A/CNK:moleküler ratio Al₂O₃/(CeO₂+MgO+K₂O)

Çizelge 1. Çelebi granitoidinin ana element iz element ve CIPW normatif bileşimleri

kabuğu metasomatik dönüşümü

- Bazaltik magmanın diferansiyasyonu
- Kabuksal malzemenin bolumselsel ergimesi

Örneklerde ait ince kesitler üzerinde yapılan mikroskopik incelemelerde metasomatik değişimlerin gözlenmemesi, incelenen granitoidler için metasomatize teorisinin geçersizliğini vurgulamaktadır.

Magmatik kristalizasyon ve bolumselsel ergimedede, iz elementlerin dağılımları Shaw (1970) ve Greenland (1970) tarafından incelenmiştir. Fraksiyonel kristalleşme yönünde Rb'un artış göstermesi gereklidir. Ancak, ortalama 5.9 ppm Rb içeren bazaltik bir malzemeden (Hart ve diğerleri, 1970) ortalama 167 ppm Rb içeren (incelenen granitoidler) bir malzemenin fraksiyonel kristalleşme ile türeme olasılığı çok azdır. Çünkü, ana malzemeye göre yaklaşık 28 misli (CL / CO = 167 / 5.9 ≈ 28.3; Hanson,

1978'e göre) Rb zenginleşmesi gerekmektedir. Ayrıca bazaltik malzemeler yüksek oranda (>500) K/rb oranı içermektedir (Engel ve Engel, 1964; Gast, 1965; Tatsuno ve diğerleri, 1965). Diğer taraftan, diferansiyasyon yönünde K/Rb oranının az da olsa azaldığı bilinmektedir (Shaw, 1968). Dolayısıyla, diferansiyasyonla yüksek K/Rb oranından düşük K/Rb oranına (incelenen granitoidlerin ortalama K/Rb oranı 219) erişilmesi de güçtür. Bunu yanı sıra bazaltik bir magmanın diferansiyasyonu orta-asidik ürünlerin yanında bazik ürünlerde vermesi gerekmektedir. İnceleme alanında ise diferansiyasyonla oluşmuş bazik türlere rastlanamamıştır. Bu nedenlerle bazaltik magmanın diferansiyasyonu da incelenen granitoidlerin oluşumu için geçerli olamaz.

İnceleme alanında granitoidlerin kökenini açıklarken, onların ve içlerindeki artık kayaç kapanımlarının mineralojik bileşimleri gözden uzak tutula-

Çizelge 1'in devamı
Table 1.continued

	21	22	23	24	25	26	27	28	29	30	31	32	33	34	35	36	37	38	39	40
SiO ₂	64.78	65.34	64.93	64.23	65.12	62.58	63.70	63.81	63.26	63.88	63.04	64.80	62.57	62.08	63.22	62.02	62.67	61.94	58.32	62.42
TiO ₂	.38	.38	.40	.49	.41	.45	.43	.42	.46	.43	.45	.38	.48	.49	.47	.50	.44	.47	.53	.46
Al ₂ O ₃	15.26	15.15	15.56	15.61	15.43	16.04	15.82	15.66	15.84	15.76	15.91	15.44	15.79	16.12	16.08	16.05	16.01	15.73	16.35	16.18
Fe ₂ O ₃	1.37	1.64	1.70	1.24	1.50	1.71	1.92	1.78	1.98	1.88	1.79	1.55	1.49	1.51	1.37	1.97	2.20	1.36	2.75	2.28
FeO	2.58	2.49	2.70	2.84	2.47	3.13	2.46	2.74	2.91	2.66	2.91	2.54	3.14	3.36	3.23	3.29	2.31	3.29	3.48	2.71
MnO	.09	.09	.10	.07	.08	.10	.08	.10	.10	.09	.10	.09	.10	.10	.11	.09	.11	.11	.11	
MgO	1.29	1.35	1.52	1.63	1.42	1.69	1.75	1.57	1.76	1.48	1.78	1.40	1.88	1.91	1.77	2.04	1.56	1.69	3.20	1.84
CaO	4.13	4.19	4.61	4.54	4.22	4.98	4.73	4.49	5.14	4.46	4.99	4.14	4.99	5.10	4.61	5.29	5.03	5.39	6.28	4.99
Na ₂ O	2.94	3.26	3.19	2.87	2.91	3.05	3.17	2.94	2.96	2.92	3.19	2.98	3.03	2.98	3.06	3.01	2.85	3.00	2.83	3.01
K ₂ O	4.58	4.40	4.26	4.43	4.52	4.34	4.23	4.75	4.31	4.54	4.39	4.79	4.21	4.10	4.54	4.01	4.34	4.43	4.05	4.38
P ₂ O ₅	.13	.13	.14	.14	.11	.14	.14	.15	.16	.15	.16	.13	.15	.16	.15	.17	.14	.14	.20	.15
H ₂ O	1.61	.92	.76	.97	1.14	1.13	1.38	1.13	.82	1.10	.90	1.15	1.19	1.29	1.07	1.00	1.32	1.37	1.41	1.10
CO ₂	.11	.11	.09	.29	.13	.22	.06	.08	.11	.06	.08	.06	.20	.14	.10	.09	.30	.47	.27	.12
Toplam-total	99.25	99.45	99.96	99.35	99.46	99.56	99.87	99.62	99.81	99.41	99.69	99.45	99.22	99.34	99.77	99.55	99.26	99.32	99.78	99.75
iz Elementler (ppm)-Trace elements (ppm)																				
Ba	778	675	612	898	839	1049	1025	911	707	697	776	941	864	836	998	873	992	1043	1173	961
Rb	187	180	192	163	165	161	156	185	176	163	165	189	158	146	152	145	162	174	139	163
Sr	426	411	427	427	429	471	456	475	471	444	481	419	464	498	487	477	482	457	500	465
Zr	147	148	153	165	144	167	145	144	161	160	165	164	156	155	147	168	154	159	141	159
Th	37	38	38	24	24	21	26	35	37	38	37	30	26	24	26	18	23	26	15	19
U	8	6	7	6	8	8	6	8	7	5	8	8	5	7	6	6	7	5	7	6
Hf	5	5	5	5	5	6	5	5	5	5	6	5	5	6	5	6	5	6	5	6
Nb	17	16	15	17	12	13	13	15	19	16	19	14	16	14	15	13	14	14	10	13
Ni	11	14	14	12	11	13	11	7	11	10	12	10	8	10	10	12	10	15	43	12
Cr	50	163	146	171	198	155	122	147	142	142	142	154	171	136	161	169	150	149	146	119
V	76	73	80	91	70	95	84	86	92	92	87	68	84	90	91	88	84	84	131	105
Cu	2	4	21	76	12	9	7	4	8	5	13	5	9	6	4	7	12	14	10	12
Pb	45	60	52	44	57	39	35	48	43	46	37	58	41	36	43	33	39	80	32	42
Zn	54	66	60	45	57	59	48	61	59	58	54	66	67	59	59	58	53	88	59	58
Ga	14	15	15	15	15	16	14	15	14	15	15	16	15	15	16	15	15	16	15	15
Y	26	24	25	30	23	26	26	24	27	27	29	23	29	25	27	26	23	26	25	23
La	56	59	69	55	44	53	52	70	64	57	57	49	56	57	60	61	54	63	44	49
Ce	48	86	116	84	42	83	80	102	82	83	72	77	91	94	98	82	82	73	81	75
Nd	8	24	33	24	7	24	18	29	17	20	16	14	27	26	28	20	15	13	20	11
K/Rb	203	203	184	226	227	224	225	213	203	231	221	210	221	233	248	230	222	211	242	223
Rb/Sr	.439	.438	.450	.382	.385	.342	.342	.389	.374	.367	.343	.451	.341	.293	.312	.304	.336	.381	.278	.351
Sr/Ba	.548	.609	.698	.476	.511	.449	.445	.521	.666	.637	.620	.445	.537	.596	.488	.548	.486	.438	.426	.484
Ce _N /Y _N	3.9	7.6	9.5	5.9	3.2	6.8	6.5	9.0	6.2	6.3	5.5	6.8	6.5	7.7	7.4	6.8	6.2	6.0	6.6	6.7
A/CNK ^a	.89	.85	.85	.87	.89	.90	.91	.87	.83	.89	.83	.87	.85	.86	.85	.85	.81	.80	.86	.86

ÇİPW Korumaları - CIPW norms

q	19.68	19.34	18.45	18.91	20.11	15.55	17.12	17.08	16.76	18.19	15.16	18.56	15.87	15.40	15.37	15.25	17.79	14.73	9.73	15.55
or	27.26	26.13	25.18	26.31	26.84	25.72	25.00	28.14	25.48	26.96	26.02	28.44	25.07	24.36	26.90	23.77	25.84	26.31	23.95	25.95
ab	25.06	27.68	27.00	24.38	24.72	25.91	26.83	24.98	25.06	24.81	27.01	25.32	25.82	25.31	25.90	25.57	24.30	25.48	23.96	25.48
an	15.04	13.83	15.56	16.81	15.81	17.38	16.50	15.57	17.29	16.64	16.22	14.73	17.21	18.68	16.79	18.57	18.21	16.52	20.04	17.79
di	3.36	4.54	4.79	2.54	3.03	4.23	4.61	4.33	5.30	3.48	5.78	3.86	4.49	4.00	3.74	5.01	3.31	5.38	6.59	4.29
hy	4.71	3.91	4.51	6.37	4.84	5.92	4.49	4.86	4.93	4.78	4.91	4.53	6.46	7.14	6.77	6.44	4.19	5.96	8.25	5.04
mt	2.00	2.38	2.47	1.80	2.18	2.48	2.79	2.58	2.87	2.74	2.60	2.25	2.18	2.21	1.99	2.86	3.21	1.97	3.99	3.31
il	.72	.72	.76	.93	.78	.86	.82	.80	.87	.82	.86	.72	.91	.93	.89	.95	.84	.89	1.01	.87
ap	.31	.31	.33	.33	.26	.33	.33	.33	.36	.36	.38	.31	.36	.38	.36	.40	.33	.33	.47	.36
cc	.25	.25	.21	.66	.30	.50	.14	.18	.25	.14	.18	.14	.46	.32	.23	.21	.68	1.07	.61	.27

a) A/CNK: moleküller oran Al₂O₃/(CeO+Na₂O+K₂O)

A/CNK: moleküler ratio Al₂O₃/(BaO+CaO+K₂O)

Table I. Major element, trace element and CIPW normative compositions of Çelebi granitoid

maz. Çünkü, her ikisi de çok benzer mineralojik bileşime sahiptir. Bilindiği gibi plajiyoklas, alkali feldispat ve biyotit büyük iyon yarı çapına sahip bazı iz elementlerin dağılımında önemli rol oynarlar. Rb ile Ba biyotit ve K-feldispat, Sr ise plajiyoklas tarafından tutulur. Dolayısıyla bölümisel ergime olayında, biyotit ve K-feldispatın artık fazda az bulunmaları veya fazla miktarda bölümisel ergimeye uğramaları, ana malzemeye göre eriyigün daha düşük K/Rb ve Sr/Ba, daha yüksek Rb/Sr oranına sahip olmasına neden olur. Çünkü, her iki mineralde ergiyige Rb ve Ba boşaltırlar. Diğer taraftan artık fazda plajiyoklasın varlığı da, eriyikdeki Rb/Sr oranını yükseltir. Bu noktadan hareketle, yüksek K, Rb, Sr, Ba Rb/Sr ile düşük K/Rb ve Sr/Ba değerlerini bölümisel ergime sonucu verebilecek ana malzemenin K-feldispat + plajiyoklas + biyotit içermesi gerekmektedir.

Özellikle orta ve ağır nadir toprak elementlerin

dağılımına etki eden piroksen ve hornblendlerin artık fazla zenginleşmesi, eriyigün söz konusu elementlerce faktörleşmesine neden olur. Y'un jeokimyasal davranışının ağır nadir toprak elementlere benzerlik göstermektedir (Whittaker ve Muntus, 1970). Bu nedenle Y, kayaçların kökenini belirlemek amacıyla ağır nadir toprak elementlerin monitörü olarak kullanılmaktadır (Tarney ve Windley, 1977; Rollinson ve Windley, 1980). İncelenen granitoidlerin Herman (1974)'e göre normalleştirilmiş Y_N değeri 9-15, Ce_N / Y_N değeri ise 3.2 - 9.3 arasında değişmektedir. Bu değerler, granitoidlerin ana malzemeye göre ağır nadir toprak elementlerce zenginleşmediğini veya mafik minerallerin bölümisel ergimeye çok az uğradığını göstermektedir. Diğer taraftan düşük K (1000 ppm), Rb (10 ppm), Ba (0.2 ppm) ve U (0.1 ppm) içeren üst mantonun (Engel ve diğerleri,

1965) bölümsel ergimesi, incelenen granitoyidlerin yüksek K, Rb, Sr, Ba, Zr, Th, U, Rb/Sr, düşük K/Rb ve Sr/Ba konsantrasyonlarını açıklayamaz.

Wyllie (1973,1981) ile Stern ve Wyllie (1981) yaptıkları deneysel çalışmalarla granitoyidlerin aktif tektonik bölgelerde kıtasal kabuğun bölümsel ergimesiyle oluşan suya doygun primer granit magmasından itibaren olusabileceğini göstermişlerdir. Ancak, Çelebi granitoyidinin kıtasal kabuğa göre yüksek La ve Ce içermesi, mafik bileşenlerde yoğunlaşma gösteren V'ca zengin olması, SiO_2 'in % 58.32'ye kadar düşerek ortaç bileşimli kayaçların oluşması, suya doygunluk, bölümsel ergimeye çok az da olsa mantonun katıldığına işaret edebilecek verilerdir. Belirtilen açıklamaların ışığında Çelebi granitoyidinin, kıtasal kabuk \pm manto malzemesinin bölümsel ergimesiyle oluşan magmanın fraksiyonel kristalleşmesi sonucu türdeği ifade edilebilir.

TARTIŞMALAR ve SONUÇ

İç Anadolu Granitoyid Kuşağındaki sokulumlardan birisi olan Çelebi granitoyidi, lökokratik ve mezokratik karakterde olup, orta ve iri tanelidirler. Bu nedenle mikroskop altında modal mineralojik bileşimlerine göre adlandırılmıştır. Granit, granodiyorit, kuvars monzonit ve kuvars monzodiyorit özelliğinde olan granitoyidlerde mafik mineral olarak hornblend + biyotit \pm piroksen ve titanit görülmüştür. Ayrıca, genellikle yuvarlaklaşmış ve belirgin dokanaklı, çapları yaklaşık 4-10 cm arasında değişen bol miktarda mafik kayaç kapanımları içerirler. Mafik kayaç kapanımları ile granitoyidler arasında mineralojik bileşim açısından büyük benzerlik vardır. Elde edilen verilerin ışığında, söz konusu mafik kayaç kapanımları sürüklendiği büyük bir benzerlik var. Elde edilen verilerin ışığında, söz konusu mafik kayaç kapanımları sürüklendiği büyük bir benzerlik var.

Kimyasal açıdan kalkalkali nitelikte olan Çelebi Granitoyidi, mineralojik bileşimleri, yapı-dokuları ve yine kimyasal özelliklerine göre, Chappel ve White (1974) tarafından tanımlanan I-tipi granitoyiddir.

Oksit değişimleri düzenli olup, fraksiyonel kristal- lenmeye yansıtacak niteliktedir. İz element değerleri açısından yüksek K, Rb, Sr, Ba, Nb, Th, U, Rb/Sr, La, Ce ile düşük K/Rb ve Sr/Ba konsantrasyonları içerirler. Yukarıda belirtilen özellikler, incelenen granitoyidlerin kıtasal kabuk \pm manto malzemesinin bölümsel ergimesiyle oluşan magmanın fraksiyonel kristalleşmesi ile oluştuğuna işaret etmektedir.

Çalışmada, granitoyidlerin tektonik konumları da belirlenmemeye çalışılmıştır. Bu amaçla, Pearce ve diğerleri (1984) tarafından önerilen modelden yararlanılmıştır. Önerilen sınıflamalarda, incelenen granitoyidlerin genelde volkanik yay granitoyidleri alanında yer aldığı gözlenmiştir (Şekil 7, 8). Ancak, Pearce ve diğerleri (1984) önerdikleri modelde, volkanik yay granitoyidlerini çarşıma sonrası granitoyidlerden ayıramamışlardır. Çünkü, her iki tektonik ortamda bulunan granitoyidler manto ve kabuk kökenli olabilmekte ve benzer mineralo-

jik-kimyasal özellikler gösterebilmektedir.

İç Anadolu'nun tektonik gelişimiyle ilgili yakın zamanlarda yapılan çalışmalar gözden geçirildiğinde, granitoyidler ile ilgili birbirinden farklı iki gelişim ayırtedilebilmektedir. Bunlardan birisi; Neotetis'in kuzey kolumnun Pontidler'in altına dalarak tüketilmesi sonucu Pontidler'in, Anatolid-Torid Platformu'yla çarpışmasıdır. Çarpışma, Şengör ve Yılmaz'a (1983) göre Erken Eosen'de, Çapan ve diğerleri'ne (1983) göre ise, Geç Senonyen'de olmuştur. Çarşımayı Kampanien'deki kalkaklı volkanizma ve plütonizma izlemiştir ve daha sonra Kırşehir Masifi'nin Pontid Bloğu'na göre saat ibrelerinin tersi yönünde dönmesi (Çapan ve diğerleri, 1983) sonucu, Kırşehir Masifi'nin kenarında yer alan granitoyid kuşağı bugünkü konumunu kazanmıştır. İkincisi, Erken Jura'da Menderes-Toros ve Kırşehir blokları, Eskişehir yakınında İzmir-Ankara kenet zonuna birleşen İç Torid kenet zonu ile ayrılmıştır. İç Torid Okyanusu Mastrihtien'den Paleosen boyunca Kırşehir Masifi ile dalma zonu oluşturmuş ve sonuçta And tipi kita yayı plütonikleri (granitoyid kuşağı) olmuştur (Görür ve diğerleri, 1985).

İlk görüşe göre granitoyidlerin, Pontidler ve Anatolid-Torid Platformu'nun çarpışmasıyla Kırşehir Bloğu'nun kalınlaşması ve kıtasal kabuk \pm manto malzemesinin bölümsel ergimeye uğrayarak meydana getirdiği magmadan itibaren türemesi gerekmektedir. Örneklerin Rb-SiO_2 ve yüksek Ba, Rb, Sr, Zr, Th, U ile düşük K/Rb içermesi, bileşimlerinde koyu renkli mineral olarak hornblend + biyotit + klinopiroksen bulunması nedeniyle, And tipi kita yaylarına benzerlik gösterdiği de ileri sürülebilir. Bu durumda ikinci görüş ağırlık kazanmaktadır.

Elde edilen veriler, Çelebi granitoyidinin çarşıma sonrası granitoyidi veya volkanik yay granitoyidi olduğunu belirgin kılmaktadır. İç Anadolu granitoyid kuşağındaki diğer plütonlar üzerine yapılacak jeokimyasal ve izotop çalışmaları, konuya açıklık getirilmesine katkıda bulunacaktır.

KATKI BELİRTME

Hacettepe Üniversitesi Araştırma Fonu tarafından HÜAF 85-01-010-13 numaralı proje olarak desteklenen bu araştırmayı laboratuvar çalışmaları Freiburg Üniversitesi Mineraloji Enstitüsünde (F.Almanya) yapılmıştır.

Analizlerin yapılmasında gösterdiği kolaylık, eleştiri ve katkıları için Prof.Dr. Jörg Keller'e teşekkürlerimi sunarım.

DEĞİNİLEN BELGEler

- BAYHAN,H., 1984, Kesikköprü Skarn kuşağı (Bala/Ankara) mineralojisi ve petrojenezi: Yerbilimleri, 11, 45-57.
CHAPPEL,B.W. ve WHITE, A.J.R., 1974, Two contrasting granites types: Pacific Geol., 8, 173-174.
ÇAPAN,U.Z., LAUER J.P. ve WHITCHURCH,H., 1983, Ankara Melanjı (Orta Anadolu): Tesis kapanışını belirlemeye önemli bir eleman: Yerbilimleri, 10, 35-43.

- ENGEL,A.E.J., ENGEL, C.G. ve HAVENS, R.G., 1965, Chemical Characteristics of oceanic basalts and upper mantle: Geol. Soc. Amer. Bull., 76-719-734
- GAST,P.W., 1965, Terrestrial ratio of potassium to rubidium and compositions of the earth's mantle: Science, 147, 858-860.
- GREENLAND,L.P., 1970, An equation for trace element distribution during magmatic crystallization: Amer. Mineral., 55, 455-465.
- GÖRÜR,N., 1981, Tuzgölü-Haymana havzasının stratigrafik analizi: Türkiye Jeol. Kur. 35.Bil.Tek.Kurultayı, İç Anadolu'nun Jeolojisi Simpozyumu, 60-65.
- GÖRÜR,N., OKTAY, F.Y., SEYMEN, İ. ve ŞENGÖR, A.M.C., 1985, Palaeotectonic evolution of the Tuz gölü basin complex, Central Turkey: Sedimentary record of a neotethyan closure: The geological evolution of the eastern Mediterranean. Ed: J.E. Dixon and A.H.F. Robertson, special publication, No.17, 81-96.
- HANSON, G.N., 1978, The application of trace elements to the petrogenesis of igneous rocks of granitic composition: Earth Planet. Sci.Lett., 38, 26-43.
- HART,S.R., BROOKS,C., KROGH,T.E., DAVIS, G.L. ve NAVA, D., 1970, Ancient and Modern volcanic rocks: A trace element model: Earth Planet. Sci.Lett., 10, 17-28.
- HERMANN, A.G., 1974, Yttrium and lanthanides. In: Handbook of geochemistry. Ed: K.H. Wedepohl, II-4 Springer-Verlag, Berlin.
- IRVINE, I.N. ve BARAGAR, W.R.A., 1971, A guide to the chemical classification of the common volcanic rocks: Can.J. Earth Sci., 8, 523-548.
- OKTAY,F.Y., 1981, Savcılıbüyükoba (Kaman) çevresinde Orta Anadolu Masifi tortul örtüsünün jeolojisi ve sedimentolojisi: İTÜ Maden Fakültesi, Doçentlik Tezi (Yayınlanmamış, 175 s.
- PEARCE,J.A., HARRIS, N.B.W. ve TRINDLE, A.G., 1984, Trace element discrimination diagrams for the tectonic interpretation of granitic rocks: Jour.Petrol, 25, 956-983.
- ROLLINSON,H.R. ve WINDLEY, B.F., 1980, An Archaean granulitegrade tonalite-trondhjemite-granite suite from Scourie, NW Scotland: Geochemistry and origin: Contr. Mineral. Petrol., 72, 265-281.
- SEYMEN,İ., 1981, Stratigraphy and metamorphism of the Kırşehir Massif around Kaman (Kırşehir-Turkey): Bull. Geol. Soc. Turkey, 24, 96-101.
- SEYMEN,İ., 1984, Kırşehir Masifi metamorfitlerinin jeoloji evrimi Türkiye Jeol.Kur., Ketiş Simpozyumu, 133-148.
- SHAND,S.J., 1950, Eruptive rocks: Thomas Murby, 4th ed., London, 488 pp.
- SHAW, D.M., 1968, A review of K,Rb fractionation trends by covariance analysis: Geochim. Cosmochim. Acta, 32, 573-601.
- SHAW, D.M., 1970, Trace element fractionation during anatexis: Geochim. Cosmochim. Acta, 34, 237-243.
- STERN, C.R. ve WYLLIE, P.J., 1981, Phase relationships of I-type granite with H_2O to 35 kilobars: The Dinkel Lakes Biotitegrannite from the Sierra Nevada Batholith: J. Geophys. Res., 86, 10412-10422..
- STRECKEISEN,A. ve LE MAITRE, R.W., 1979, A chemical approximation to the modal QAPF classification of the igneous rocks: N. Jb. Miner. Abh., 136, 169-206.
- ŞENGÖR, A.M.C. ve YILMAZ, Y., 1983, Türkiye'de tetisin evrimi: Levha tektoniği açısından bir yaklaşım: Türkiye Jeol.Kur., Yerbilimleri Özel Dizisi, No 1, 75 s.
- TARNEY,J. ve WINDLEY, B.F., 1977, Chemistry, thermal gradients and evaluation of the lower crust: J.Geol.Soc. London, 134, 153-172.
- TATSUMOTO,M., HEDGE, C.E. ve ENGEL, A.E.J., 1965, K, Rb, Sr, Th, U, and the ratio of Sr^{87} / Sr^{86} in oceanic tholeiitic basalt: Science, 150, 886-888.
- TAYLOR,S.R., 1967, The origin and growth of continents: Tectonophysics, 4, 17-34.
- WHITE, A.J.R. ve CHAPPEL, B.W., 1977, Ultrametamorphism and granitoid genesis: Tectonophysics, 43, 7-22.
- WHITTAKER,E.J.W. ve MUNTUS, R., 1970, Ionic radius for use in geochemistry: Geochim. Cosmochim. Acta, 34, 945-056.
- WYLLIE,P.J., 1973, Experimental petrology and global tectonics: A preview: tectonophysics, 17, 189-209.
- WYLLIE, P.J., 1981, Experimental petrology of subduction andesites, and batholiths: Trans. Geol. Soc. S. Afr., 84, 281-291.